

УДК 618.14-006:618.145-07

A. П. Пересунько
Омар Камаль Нуман
А. Г. Ушенко*

Буковинський державний медичний університет, м. Чернівці

*Чернівецький національний університет ім. Ю. Федьковича, м. Чернівці

Ключові слова: гладкомышечні опухолі матки, ендометрій, лазерна диагностика.

ЛАЗЕРНАЯ ДИФФЕРЕНЦІАЛЬНАЯ ДІАГНОСТИКА ГЛАДКОМЫШЕЧНИХ ОПУХОЛЕЙ МАТКИ

Резюме. В работе разработаны новые критерии дифференциальной диагностики гладкомышечных опухолей матки – саркомы и лейомиомы на основании биофизического метода лазерной поляриметрии гистологических препаратов эндометрия, полученных при эндоскопическом исследовании. Показано, что этот метод адекватно отражает процессы малигнизации фиброматозного узла, что открывает новые подходы к дифференциальной диагностике гладкомышечных опухолей матки.

Вступлення

Гладкомышечні опухолі матки – одни из найбільш розповсюджених опухолей жіночих репродуктивних органів. За післядне десятиліття кількість жінок, больних цією патологією, зросла більше ніж в 2 рази [1,3,5].

Повищено влечение клініцистів та учених до проблеми гладкомышечних опухолей обумовлено тем, що постійно зростає частота рака ендометрія та саркоми матки во многих странах мира, в том числе и на Украине [2,8,9]. Кроме того, клинико-морфологическая диагностика миомы и саркомы матки представляет на сегодняшний день нерешенную проблему клинической гинекологии, онкогинекологии и патоморфологии [2,4]. Дооперационная диагностика лейомиосаркомы крайне затруднена. Эндоскопические данные у больных этой злокачественной опухолью не всегда отличаются специфичностью [1,2].

В связи с этим возможно дополнить клинико-морфологические методы широким использованием новейших биомедицинских технологий. Помощь в этом может составить лазерная оптика – методы лазерной поляриметрии [6,7].

Цель исследования

Разработать лазерно-поляриметрические критерии дифференциальной диагностики миомы и саркомы матки при проведении сравнительной оценки лазерного исследования гистопрепарата эндометрия, полученных при эндоскопическом исследовании.

Материал и методы

Нами обследовано 32 послеоперационных препарата матки с лейомиосаркомой и карциносаркомой матки после проведенной радикальной операции – екстирпации матки с придатками. Всем пациентам перед оперативным вмешатель-

ством проводилось раздельное диагностическое выскабливание стенок полости матки и цервикального канала.

В качестве объектов исследования были сформированы следующие группы гистологических срезов эндометрия, которые подвергались лазерному изучению: 1) эндометрий нормального строения – n = 5; 2) железисто - кистозная гиперплазия эндометрия – n = 8; 3) простая атрофия эндометрия – n = 4; 4) полип эндометрия – n = 5; 5) высокодифференцированная аденокарцинома эндометрия – n = 3; 6) мезенхимальная саркома матки n = 7.

Обращает на себя внимание то, что только в семи случаях из 32-х, диагноз саркомы матки был подтвержден дооперационно при диагностическом выскабливании эндометрия.

В основу анализа процессов преобразования поляризованного лазерного излучения слоями биоптата эндометрия положена следующая модель [8]: биологическая ткань рассматривается в виде двухкомпонентной изотропно - анизотропной структуры; оптико-анизотропной компонентой является белковая внеклеточная матрица, образованная сетью коллагеновых и миозиновых фибрилл; каждая фибрilla является оптически одноосным двулучепреломляющим кристаллом; поляризационные свойства таких фибрилл характеризуются и описываются матричным оператором Мюллера {Z}

$$\{z\} = \begin{vmatrix} 1 & 0 & 0 & 0 \\ 0 & z_{22} & z_{23} & z_{24} \\ 0 & z_{32} & z_{33} & z_{34} \\ 0 & z_{42} & z_{43} & z_{44} \end{vmatrix}, (1)$$

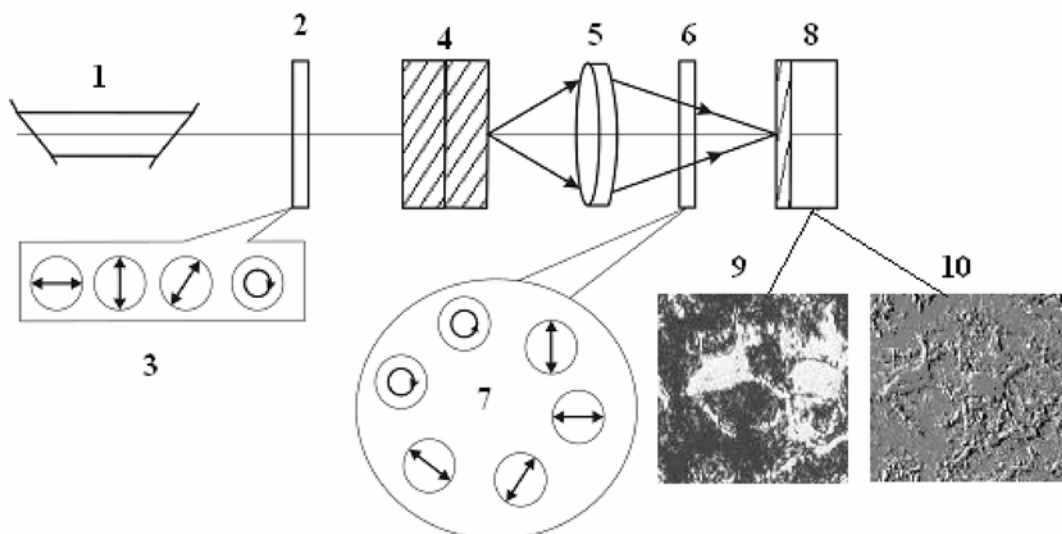


Рис. 1. Оптическая схема лазерного поляриметра. Пояснения в тексте

Известно [7,8], что матрица Мюллера является математическим эквивалентом любого биологического объекта и исчерпывающе описывает процессы преобразования поляризации оптического излучения в терминах параметров вектора Стокса ($S^* = \{Z\} S_0$). Здесь S_0 , S^* – соответствен-но, вектора Стокса зондирующего и, преобразованного объектом, лазерного пучка.

На рис. 1 показана традиционная оптическая схема поляриметра для измерения координатных распределений азимутов и эллиптичности поляризации лазерных изображений образцов биоптата эндометрия, полученного при диагностическом высабливании [7].

Освещение образцов биоптата тканей шейки матки проводилось параллельным ($\bar{W}=2 \times 10^3 \mu\text{m}$) слабоинтенсивным ($W = 5,0 \text{ мВт}$) пучком Не-Не лазера ($l = 0,6328 \mu\text{m}$).

Поляризационный осветитель состоит из четвертьволновых пластинок 3, 5 и поляризатора 4, что обеспечивает формирование лазерного пучка с произвольным азимутом и эллиптичностью поляризации.

Исследуемые образцы тканей шейки матки последовательно зондировались лазерным пучком со следующими типами поляризации: линейная с азимутами 0° , 90° , $+45^\circ$ и правая циркуляция.

Поляризационные изображения образцов биоптата эндометрия с помощью микрообъектива 7 проецировались в плоскость светочувствительной площадки ($m \times n = 800 \times 600$ пикселей) CCD-камеры 10.

Анализ поляризационно – неоднородной структуры изображений образцов биоптата эндометрия осуществлялся с помощью поляризатора 9 и четвертьволновой пластинки 8.

Обсуждение результатов исследования

Приводим результаты исследования статистической (рис. 2б), корреляционной (рис. 2в) и самоподобной (рис. 2г) структуры распределений (рис. 2а) фазового элемента F_{44} гистологических срезов образцов эндометрия с саркомой матки, полученных при изучении матрицы Мюллера.

Из полученных данных видно, что саркома матки приводит к существенным трансформациям координатной структуры Мюллера – матричного изображения F_{44} ($m \times n$), которое характеризует двулучепреломление соответствующих гистологических срезов.

Из анализа координатного распределения F_{44} ($m \times n$) (рис. 2а) видно, что поляризационно саркома матки проявляется в формировании хаотически ориентированных упорядоченных областей, связанных с разупорядоченными направлениями роста новообразованных оптически анизотропных фибрillлярных образований. Аденокарциномой автокорреляционная функция координатного распределения 3D(F_{44}) локальных значений фазового элемента матрицы Мюллера гистологического среза образца ткани с саркомой матки характеризуется узколокализованным пи-ком – рис. 2в.

Для распределения экстремумов логарифмической зависимости $\log W - \log (l^{-1})$ (рис. 2г) спектров мощности Мюллера – матричного изображения оптически – анизотропной двулучепреломляющей протеиновой фибрillлярной сети отсутствует стабильный наклон, что подтверждает случайный тип распределения фазового матричного элемента F_{44} в плоскости соответствующего гистологического среза.

Количественно саркома матки проявляется в следующих изменениях статистических (Q_{K1-4}),

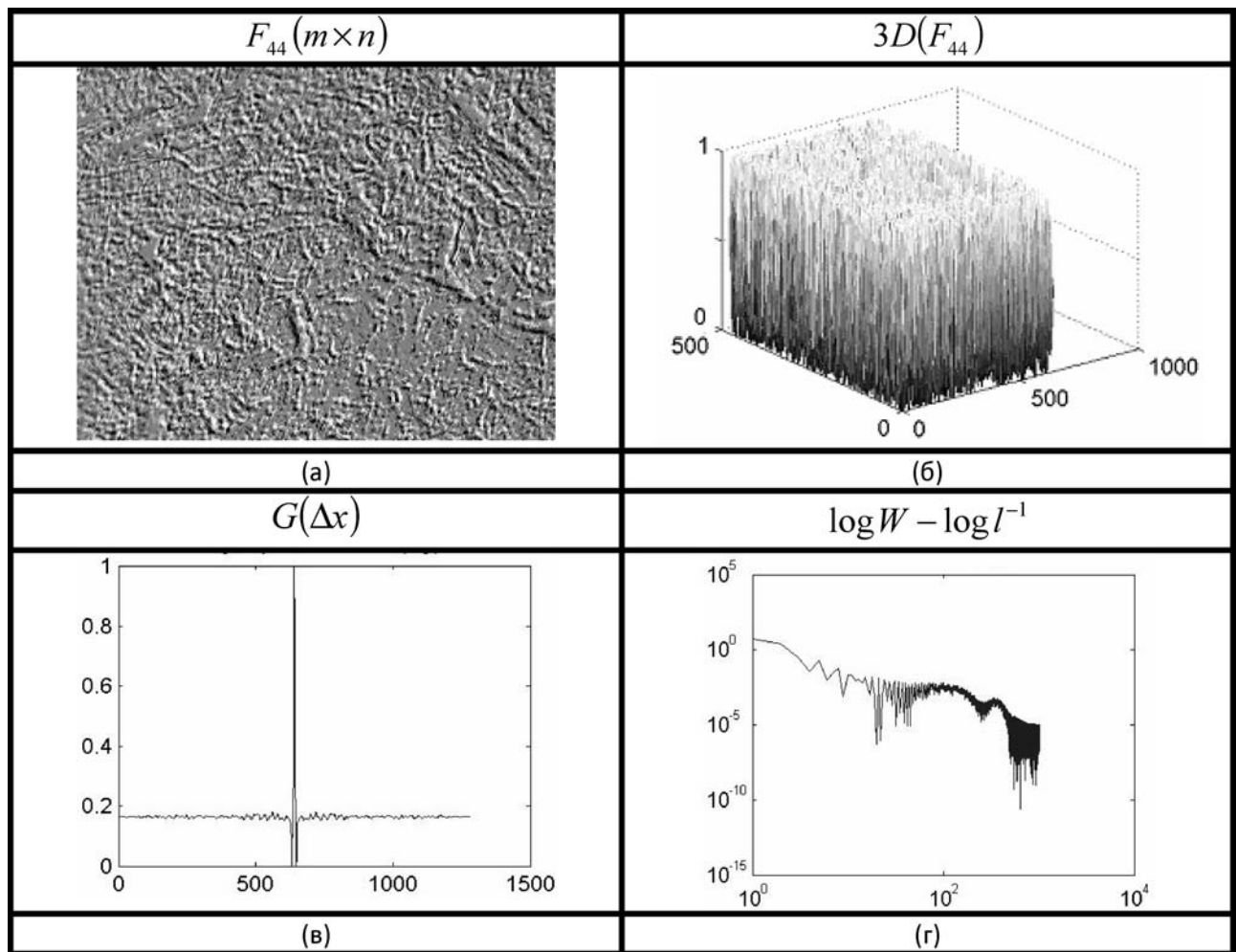


Рис. 2. Мюллер – матрична карта елемента $F_{44}(m \times n)$ (фрагмент (а)), її статистичні $3D(F_{44})$ (фрагмент (б)), кореляційні $G(\Delta x)$ (фрагмент (в)) і спектральні $\log W - \log I^{-1}$ (фрагмент (г)) параметри, які характеризують оптическу анизотропію ендометрія з саркомою матки.

кореляційних (K_{1-4}) і спектральних (S_{1-4}) моментів, які характеризують Мюллер – матричні зображення набора ($n=7$) гистологічних срезів образців ендометрія з саркомою, в порівнянні з фоновим і предраковим состояннями ендометрія.

Установлено наступні відмінності в порівнянні з образцами ендометрія при фонових і предракових процесах ендометрія: $Q_{k=1}$ – уменьшення в 6,3 раза; $Q_{k=2}$ – уменьшення в 3,8 раза; $Q_{k=3}$ – збільшення в 6,8 раза; $Q_{k=4}$ – збільшення в 6,3 раза.

Також установлено відмінності кореляційної однородності Мюллер – матричних зображень гистологічних срезів ендометрія нормального створення в порівнянні з образцами онкологічної зміненої тканини: $K_{k=2}$ уменьшення на один порядок; $K_{k=4}$ збільшення на два порядки 41 раз.

Нами показано установлені наступні відмінності набора спектральних моментів Мюллер – матричного зображення ендометрія з саркомою в порівнянні з образцами ендометрія з фоновими і предраковими процесами: $S_{k=1}$ – зменшення в 9 раз; $S_{k=2}$ – зменшення в 4,3 раза; $S_{k=3}$ – збільшення на один порядок величини; $S_{k=4}$ – збільшення на один порядок величини.

Таким чином на основі проведеного цикла Мюллер – матричних досліджень статистичних, кореляційних і фрактальних проявлень оптическої анизотропії двулучепреломлюючих структур гистологічних срезів образців ендометрія всіх груп установлено, що: величини і діапазони змінення в пределах кожної групи гистологічних срезів набора статистичних, кореляційних і спектральних моментів 1-го – 4-го порядків характеризують координатні розподілення локальних значень фазового елемента матриці Мюллера.

Выявлены лазерные диагностические критерии типа патологических изменений эндометрия (строма эндометрия):

- статистические моменты 1-го - 4-го порядков, которые характеризуют координатные распределения локальных величин матричного элемента F_{44} в пределах плоскости фазового Мюллера – матричного изображения;
- корреляционные моменты 2-го и 4-го порядков, который характеризует скорость уменьшения относительных значений и степень остроты пика автокорреляционных функций координатных распределений Мюллера – матричных изображений двулучепреломляющих протеиновых структур;

- спектральные моменты 1-го – 4-го порядков, которые характеризуют особенности распределения экстремумов логарифмических зависимостей спектров мощности карт распределений фазового матричного элемента в плоскости гистологических срезов.

Полученные результаты исследования эндометрия при саркоме матки позволяют исключить субъективные трудности постановки диагноза этого грозного онкологического процесса на этапе предоперационной диагностики.

Выводы

Установленные точные лазерные критерии диагностики состояния эндометрия при злокачественных гладкомышечных опухолях матки адекватно отражают процессы малигнизации эндометрия, что, в конечном итоге, существенно влияет на качество предоперационной диагностики.

Перспективы дальнейших исследований

Планируется конкретизация лазерных цифровых параметров патологических состояний эндометрия при исследовании миометрия.

Литература. 1.Бохман Я.В. Руководство по онкогинекологии. Л: Медицина, 2002. - 464 с. 2. Бохман Я.В., Урманчева А.Ф. Саркомы матки. – СПб.: Гиппократ, 1996. – 128с. 3.Воробьева Л.И. Диагностика и лечение доброкачественных и злокачественных опухолей матки. В: Злопакіні пухлини матки та трофобласти: патогенез, діагностика та лікування (Матеріали ІІІ наук-практиконф). Київ. -1999. – с. 5-8. 4.Коханевич Е.В. Патология шейки и тела матки. Руководство для врачей. – Нежин, Гидромакс, 2009. – 352с.

- 5.Савицький Г.А., Савицький А.Г. Миома матки. Проблемы патогенеза и патогенетической терапии. СПб.: « ЭЛБИ-СПб», 2003. – 236С.
- 6.Ушенко О.Г. Автокореляційна структура поляризаційних образів біотканин / О.Г. Ушенко, Д.М. Бурковець, О.І. Олар // Наук. Віsn. ЧДУ, вип.86: Фізика, Електроніка. — Чернівці: ЧДУ, 2002.-с.82-97.
- 7.Ушенко О.Г. Лазерна поляриметрія біологічних тканин. Діагностика пухлин жіночих репродуктивних органів / О.Г. Ушенко, О.П. Пересунько, Р.В. Сенютович [та ін.] під ред. О.Г. Ушенка, О.П. Пересунько, Р.В. Сенютовича – Чернівці: Чернівецький нац. ун-т, 2010 – 476 с.
- 8.Чернишова А.И., Коломиець Л.А., Крицкая Н.Г. Прогностические критерии онкологического риска при пролиферативных процессах эндометрия // Росс. онкол. журнал. – 2000 - №3. – С. 23-25.
- 9.Deruelle P. Diagnosis of endometrial cancer / P.Deruelle, J.L.Leroy // RevTrat. - 2001. – Vol.51, N13. – P. 1439-1443.

ЛАЗЕРНА ДИФЕРЕНЦІЙНА ДІАГНОСТИКА ГЛАДКОМ'ЯЗЕВИХ ПУХЛИН МАТКИ

*О.П. Пересунько, Омар Камаль Нуман, О.Г. Ушенко**

Резюме. В роботі розроблені нові критерії диференційної діагностики гладком'язевих пухлин матки – саркоми та лейоміоми за допомогою біофізичного методу лазерної поляриметрії гістологічних препаратів ендометрія, отриманих при ендоскопічному дослідженні. Робиться висновок, що цей метод адекватно відображає процеси малігнізації фіброматозного вузла, що відкриває нові підходи до диференційної діагностики гладком'язевих пухлин матки.

Ключові слова: гладком'язеві пухлини матки, ендометрій, лазерна діагностика.

LASER DIFFERENTIAL DIAGNOSTICS OF THE UTERI SMOOTH MUSCULAR TUMORS

A.P.Peresunko, Omar Kamal numan, A.G.Ushenko

Abstract. New criteria of the differential diagnostics of the uteri smooth muscular tumors carcinomas and leiomyomas on the basis of the biophysical method of laser polarimetry of endometrium histological specimens, obtained under and endoscopic investigation have been developed in the research. It has been shown that this method adequately reflects the process of malignization of the fibromatous node that reveals new approaches to differential diagnostics of the uteri smooth muscular tumor.

Key words: uteri smooth muscular tumors, endometrium, lazei diagnostics.

Bukovinian State Medical University (Chernivtsi)

Yu.Fedkovich National University (Chernivtsi)

Clin. and experim. pathol.- 2012.- Vol.11, №1 (39).-P.125-128.

Надійшла до редакції 07.02.2012
Рецензент – проф. О. В. Кравченко
© А. П. Пересунько, Омар Камаль Нуман, А. Г. Ушенко, 2012